

بررسی نقش سینتیک در بهینه سازی پارامترهای مؤثر در فلوتاسیون

اسماعیل جرجانی
دانشجوی دکترا

بهرام رضایی
دانشیار

دانشکده مهندسی معدن و متالورژی، دانشگاه صنعتی امیرکبیر

چکیده
در طی عملیات فلوتاسیون، بازیابی با تغییر پارامترهای مانند pH، غلظت و نوع گلکتور، غلظت و نوع بازداشت کننده، درصد جامد در بالپ، و بسیاری دیگر، افزایش، کاهش و یا بدون تغییر باقی می‌ماند. در این راستا سعی گردیده تا با استفاده از سینتیک فلوتاسیون پارامترهای یاد شده بهینه و سپس زمان بهینه توقف بالپ نیز برای چنین مدلی محاسبه گردد.
از بازدهی جدایش^۱ به منظور کنترل، تعیین و انتخاب پارامتر مناسب استفاده گردیده است. مطالعات آزمایشگاهی انجام شده نشان می‌دهد که چنانچه شرایط بهینه زیر برقرار باشد، می‌توان به جدایش ایده آلی (S.E = ۸۷%) دست یافت.

$$pH = 9$$

بازداشت کننده: (سیلیکات سدیم) به میزان (g/t) ۱۷۵۰

گلکتور: (Aero ۸۲۵) به میزان (g/t) ۱۰۰۰

گردش روتور: (rpm) ۱۰۰۰

دروصد جامد: ۲۳

زمان بهینه خردایش جهت دستیابی به d₈₀ = ۷۵ میکرون: ۱۴ دقیقه

The Optimization Studies of Flotation Parameters Using the Flotation Rate Data

B. Rezai
Associate Professor
Mining and Metallurgical Engineering Department
Amirkabir University of Technology

E. Jorjani
Ph.D. Student
Azad University

Abstract

During the flotation operation, recovery may increase, decrease or remain constant with variation of parameters like pH, type and concentration of collector, type and concentration of depressant, % solid in pulp and many others. In this studies the attempts have been made to use the flotation rate data to optimize the above parameters and on account of this, the optimum RTD for such model have been determined. In order to control, evaluate and select the suitable parameter, the separation optimized conditions:

PH: 9

Depressant: 1000 (g/t)

r.p.m: 1000

%Solid: 23

Time of d₈₀ = 75: 14 min

It is possible to achieve S.E = 87 %

مقدمه

از ثابت سینتیک علاوه بر تعیین زمان بهینه فلوتاسیون و مسائل مربوط به طراحی مدار و کنترل سیستم، در بهینه سازی نوع و غلظت مواد شیمیایی و دیگر پارامترهای اساسی فلوتاسیون نیز می‌توان استفاده کرد.

۱- مطالعات آزمایشگاهی

۱-۱- نمونه برداری و تهیه نمونه معرف

نمونه برداری به روش لوله‌ای از انبار باطله موجود در معدن باریت کاشان انجام گرفته است. در این روش با توجه به نحوه پراکندگی مواد باطله، لوله‌ای به طول $1/5$ متر را در فواصل 3 متری از یکدیگر و به طور موازی و قائم از سطح تا عمق به داخل توده وارد نموده و نمونه کلی تهیه گردیده است.

از نمونه‌های به دست آمده، با استفاده از جداکننده شانه‌ای^۷ و سپس روش مخروط و چهار قسمتی کردن، نمونه‌ای معرف با وزن و مشخصات مورد نظر تهیه گردیده است.

۱-۲- خردایش

خردایش توسط سنگ شکن استوانه‌ای و آسیای میله‌ای انجام گرفته است. ابتدا توسط سنگ شکن مواد تا ابعاد زیر $2/3$ میلی‌متر خرد گردیده (80~mm محصول معادل 1950~میکرون) و سپس محصول بدست آمده، توسط آسیای میله‌ای با بار خردکننده 22~کیلوگرم در زمان‌های متفاوت جهت دستیابی به درجه آزادی مطلوب، مورد خردایش قرار گرفته است. در شکل (۱) منحنی‌های دانه‌بندی محصولات سنگ شکن و آسیا نشان داده شده است.

۱-۳- آزمایشات فلوتاسیون

۱-۳-۱- مدل مورد استفاده

یکی از موارد کاربرد سینتیک فلوتاسیون، بهینه سازی پارامترهای مؤثر در آن است. علاوه بر این، زمان بهینه توقف ماده معدنی در سلول نیز با این پارامتر ارزیابی می‌گردد [۷ و ۸]. به طور کلی در مورد سلول غیر پیوسته می‌توان معادله (۲) را ارائه نمود:

$$\frac{dc}{dt} = -kc \quad (2)$$

در بررسی سینتیک معمولاً دو نوع حرکت در نظر گرفته می‌شود. حرکت نوع اول که در اثر تحولات شیمیایی حاصل می‌شود و تغییرات خواص ماده را به دنبال دارد. در صورتی که حرکت نوع دوم فقط تغییر مکان فیزیکی ذرات را بدون تغییر در ماهیت و خواص آنها باعث می‌گردد [۱]. از آنجاکه سرعت پیشرفت تحولات معمولاً به نحوه انجام هر دو حرکت وابسته است، لذا در نظر گرفتن انواع حرکت به منظور تشریح فرایندهای سینتیکی امری ضروری است. سینتیک به دونوع شیمیایی و انتقال تقسیم می‌گردد. بررسی و تعیین سرعت انجام واکنش‌ها و تحولات شیمیایی در حوزه عملکرد سینتیک شیمیایی مطرح می‌شود، در صورتی که سینتیک انتقال، پدیده‌هایی چون نفوذ و انتقال ماده طریق را از جا به جایی مورد بررسی قرار می‌دهد [۱].

مطالعه سینتیک فلوتاسیون کلیه پارامترهای را که بر سرعت محصول واکنش تأثیر می‌گذارند را در بر می‌گیرد و چنین سرعتی به صورت بازیابی مطلق بر زمان تعیین می‌گردد.

اولین مقاله مربوط به سینتیک فلوتاسیون در سال ۱۹۳۵ توسط «گارسیا زانیکا» در شیلی منتشر گردید و طبق نظریه وی، بازیابی به شکل یکتابع نمایی با زمان ارتباط دارد [۲]. علاقه به سینتیک «آربیتر» را به احیاء نظریه «گارسیا» و اداشت. وی مقدار ماده معدنی انتقال یافته به بخش کف را تابع مستقیمی از غلظت آن ماده دانسته و معادله (۱) را ارائه نموده است [۳]:

$$\frac{dc}{dt} = k(C)^n = k(R^* - R)^2 \quad (1)$$

که در آن:

K: ثابت سینتیک

C: غلظت ماده معدنی

n: درجه واکنش شیمیایی است که معادل ۲ در نظر گرفته می‌شود.

R: بازیابی در زمان t

R*: بازیابی در زمان بی‌نهایت است.

این معادلات توسط افراد دیگری همچون موریس^۳، هوکی^۴، ایمازوم^۵ و دیگران مورد بحث و انتقاد قرار گرفت و به تدریج منجر به تشکیل مدل‌های سینتیکی با شرایط کاربردی متفاوت گردید [۴، ۵ و ۶].

که در آن:

RI: بازیابی در زمان بی نهایت است.

بنابر این زمان توقف بهینه به صورت معادله (۹) ارائه می شود:

$$t_{(opt)} = \frac{1}{K_A - K_B} \ln \left(\frac{K_A R_{IA}}{K_B R_{IB}} \right) \quad (9)$$

برآورده از RI را می توان با رسم منحنی بازیابی - زمان بدست آورد. چنین محاسباتی با رسم منحنی $\frac{RI - R}{RI}$ نسبت به زمان (t) تأیید می گردد.

اگر مقدار RI بیش از حد بهینه باشد، منحنی به سمت بالا و اگر RI کوچکتر از این حد باشد به سمت پایین منحرف می گردد. در نهایت ثابت سینتیک از شبی خط مستقیم محاسبه و زمان توقف بهینه از رابطه (۹) محاسبه می گردد.

برای محاسبه زمان توقف بهینه نموداری نیز ارائه شده است که در آن فاکتور سرعت فلوتاسیون به صورت تابعی از زمان رسم می شود [۷].

در این نمودار محل تلاقی دو منحنی مربوط به کانی مطلوب و گانگ تعیین کننده زمان بهینه است.

۱-۲-۳- آزمایش های فلوتاسیون و بهینه سازی پارامترها

در این مبحث پارامترهای مؤثر در فلوتاسیون مورد بررسی قرار گرفته و شرایط بهینه با توجه به دست آمده است. پارامترهای مورد بررسی عبارتند از:

- نوع کلکتور و میزان مصرف آن
- نوع بازداشت کننده و میزان مصرف آن
- pH -
- سرعت چرخش دستگاه
- درصد جامد
- دانه بندی محصول آسیا

الف- بررسی و بهینه سازی pH

جهت تعیین pH بهینه، با ثابت نگه داشتن پارامترهای

زیر:

- درصد جامد: ۲۳

- بازداشت کننده: سیلیکات سدیم به میزان ۱۵۰۰ گرم بر تن

- دور چرخش دستگاه: ۱۰۰۰ دور بر دقیقه

- دانه بندی بار ورودی به فلوتاسیون: ۵۷ میکرون

که در آن:

c: غلظت ماده معدنی در حال فلوته شدن در زمان (t) می باشد.

با توجه به رابطه (۲) می توان معادله (۳) را ارائه نمود:

$$\frac{dc}{dt} = -kc \Rightarrow \frac{dc}{c} = -kdt \Rightarrow \ln c = -kt + A \Rightarrow \ln c = -kt + \ln c_0$$

$$\Rightarrow \ln \frac{c}{c_0} = -kt \Rightarrow \frac{c}{c_0} = e^{-kt} \quad (3)$$

با توجه به تعریف بازیابی:

$$R = \frac{c_0 - c}{c_0} = 1 - \frac{c}{c_0} \quad (4)$$

بنابر این از روابط (۲) و (۴)، رابطه (۵) به دست می آید:

$$R = 1 - e^{-kt} \Rightarrow 1 - R = e^{-kt} \Rightarrow \ln (1 - R) = -kt \quad (5)$$

با رسم منحنی $\ln (1 - R)$ (محور قائم) در مقابل t (محور افقی)، k یا ثابت سینتیک را می توان محاسبه کرد [۷] و [۸]. با توجه به اینکه با افزایش زمان، میزان بازیابی کانی مطلوب (R_A) و بازیابی باطله (R_B) با نسبت های متفاوت افزایش می یابد، لذا پارامتری تحت عنوان بازدهی جدایش تعریف می گردد که توسط آن می توان مطابق با رابطه (۷) زمان بهینه فلوتاسیون را محاسبه نمود.

$$S.E. = R_A - R_B \quad (\text{بازیابی باطله} - \text{بازیابی کانی مطلوب})$$

$$\Rightarrow S.E. = (1 - e^{-k_A t}) - (1 - e^{-k_B t}) \quad (6)$$

در شرایط ایده آل بازدهی جدایش بایستی ماکزیمم باشد بنابر این:

$$\frac{d(S.E.)}{dt} = 0 \Rightarrow k_A e^{-k_A t} = k_B e^{-k_B t} \Rightarrow t_{(opt)} = \frac{\ln K_A - \ln K_B}{K_A - K_B} \quad (7)$$

مطالعات انجام شده نشان می دهد که R به طور مستقیم با $(1 - e^{-kt})$ متناسب نیست. بنابر این:

$$R = R_I (1 - e^{-kt}) \quad (8)$$

برای باریت و باطله رسم گردیده که در شکل (۹) نشان داده شده است.

جدول (۲) پیونه سازی پارامترها با استفاده از بازدهی جدایش.

پارامتر بهینه	بازدهی جدایش	مقایسه برای نوع	پارامتر	ردیف
pH=۹	۳۵	۸	pH	۱
	۷۶/۹	۹		
	۷۳	۱۰		
سیلیکات سدیم	منفی	CMC	نوع	۲
	۷۶/۹	سیلیکات سدیم	بازدهی کننده	
۱۷۵۰	۷۲	۱۲۵۰	مقطر	۳
	۷۶/۹	۱۰۰۰	بازدهی کننده	
	۸۷	۱۷۰۰	(%)	
(AERO) AT&T	۸۷	(AERO) AT&T	نوع	۴
	۴۹	SAM	کلکتور	
منفی	FAST+T+		صرفی	
	۴۲/۰	CMC ۱۹۹		
۱۰۰۰	۷۶	۷۰۰	میزان کلکتور	۵
	۸۷	۱۰۰۰	صرفی	
	۸۰	۱۲۵۰	(%)	
۱۰۰۰	منفی	۸۰۰	دور	۶
	۸۷	۱۰۰۰	ستگله	
	۸۰	۱۲۰۰	(r.p.m)	
۷۳	A910	۲۰	درصد	۷
	۸۷	۲۲	جلد	
	۷۶/۹	۲۵		
۱۴	منفی	۱۱	زمان	۸
	۸۷	۱۴	خرابی	
	۷۰/۰	۱۶	(دقیقه)	

۱-۳-۳-۱- نقش سینتیک در محاسبه زمان پیونه توقف پالپ در سلول

با استفاده از شکل (۹) می توان ثابت های سینتیک باریت و باطله را به صورت زیر محاسبه نمود:

$$k_b = \frac{\ln \frac{1}{1}}{\frac{1}{5}} = ۴/۶۰۵۱$$

و در pH های ۸، ۹ و ۱۰ آزمایش های متفاوتی انجام گردید که نتایج حاصل در جدول (۱) درج شده است. کف گیری در فواصل ۳۰ ثانیه و در مجموع ۹۰ ثانیه انجام گردیده است.

با توجه به جدول (۱) نمودار بازیابی - زمان را برای باطله و باریت رسم نموده (شکل (۲)) و RI و تخمین زده می شود. سپس با رسم منحنی $\frac{RI - R}{RI}$ نسبت به زمان، RI به طور دقیق محاسبه می شود (اشکال ۳ تا ۸) پس از محاسبه RI باریت و باطله، بازدهی جدایش را می توان محاسبه نمود که نتایج آن در جدول (۲) ارائه شده است.

جدول (۱) آزمایش فلوتواسیون در pH های متفاوت.

بلوری نمایشی بلطفه (%)	محصول				
۱۰/۷۰	A9/۸۸	A9/۸۸	A9/۸	۶۷/۸	C1
۱۲/۷۸	۹۷/۸۷	A/۹۲	۷۰/۹۱	۹/۹۸	C2
۱۳/۷۸	۱۰۰	۷۱-۳	۷۲/۳	۹۸/۱	C3
		-	-	۷۹/۸۹	بسطه

جدول (۲) بازدهی جدایش در pH های مختلف.

بازدهی جدایش (%)	بازدهی RI (%)	بازدهی RI (%)	pH
۳۵	۵۹	۹۳	۸
۷۶/۹	۲۱/۹	۹۷/۸	۹
۷۳	۲۴	۹۷	۱۰

باتوجه به اینکه بازدهی جدایش برای pH=۹ از همه زیادتر و معادل ۷۶/۹ درصد می باشد، لذا این pH به عنوان بهینه منظور گردیده است.

ب- بررسی و پیونه سازی سایر پارامترها

مشابه حالت الف، بازدهی جدایش برای کلیه پارامترهای مورد بحث محاسبه گردیده و سپس پارامتر بهینه تعیین شده است. نتایج حاصل در جدول (۳) درج شده است.

تحت شرایط بهینه (ستون ۵ جدول (۳)) آزمایش نهایی انجام و نتایج حاصل در جدول (۴) درج شده است. تحت این شرایط منحنی $\frac{RI - R}{RI}$ نسبت به زمان

$$k_t = \frac{\ln \cdot / 2}{\cdot / 5} = 3 / 2188$$

k_b : ثابت سینتیک باریت

k_c : ثابت سینتیک باطله

همچنین با توجه به اینکه بازیابی بی نهایت برای

باریت و باطله تحت شرایط بهینه به ترتیب برابر با ۱۰۰

و ۱۳ درصد محاسبه گردیده است، لذا با استفاده از

رابطه (۸) زمان بهینه توقف پالپ در سلول به صورت

زیر محاسبه می‌گردد:

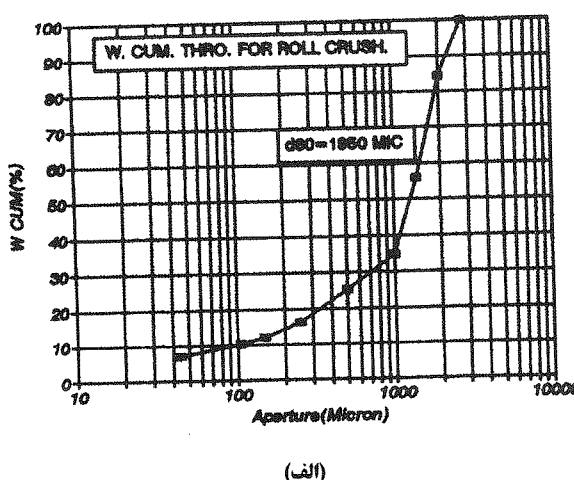
$$t(\text{opt.}) = \frac{1}{k_b - k_t} \ln \left(\frac{R I_b k_b}{R I_t k_t} \right)$$

$$t = 1 / 2188 \times 3 / 2188 = 1 / 4051 = 0.00025 \text{ دقيقه}$$

$$\ln(100 \times 4 / 6051 / 12 \times 3 / 2188) = 1 / 73$$

جدول (۲) آزمایش فلوتاسیون تحت شرایط بهینه.

پالپی پالپ (%)	بازدھی بازدھی (%)	بازدھی بازدھی (%)	عمر (%)	میزان میزان (%)	حجم حجم (%)	pH
TA	۷۷	۷۷	۸۰/۸	۷۰/۶	Ci	۸
۹۹/۱	۸۰/۹	۷۷/۹	۸۰/۴	۷۰/۶	Ci	۸
۹۹/۰	۹۷/۰	۹۷/۰	۹۸/۹	۹	Ci	۸
-	۱۰۰	۷۷/۷	۷۷/۷	۹۰/۰	۷۰/۶	۸
۹۹/۰	۸۰/۹	۸۰/۹	۸۰/۹	۸۰/۰	Ci	۹
۳۱/۰	۸۰/۹	۷۷/۰	۸۰/۰	۷۰/۱	Ci	۹
۹۰	۸۰/۰	۷۷/۰	۸۰/۰	۷۰/۰	Ci	۹
-	۱۰۰	۷۷/۰	۷۷/۰	۷۰/۰	۷۰/۰	۹
۹۹/۰	۸۰/۹	۸۰/۹	۸۰/۹	۸۰/۰	Ci	۱۰
۱۹/۰	۸۰/۹	۷۷/۰	۸۰/۰	۷۰/۰	Ci	۱۰
۹۰/۰	۸۰/۰	۷۷/۰	۸۰/۰	۷۰/۰	Ci	۱۰
-	۱۰۰	۷۷/۰	۷۷/۰	۷۰/۰	۷۰/۰	۱۰



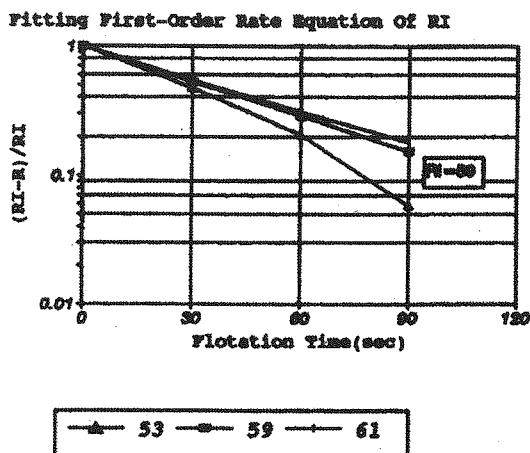
امیرگیبر / سال یازدهم / شماره ۲۲

۳- تجزیه و تحلیل نتایج

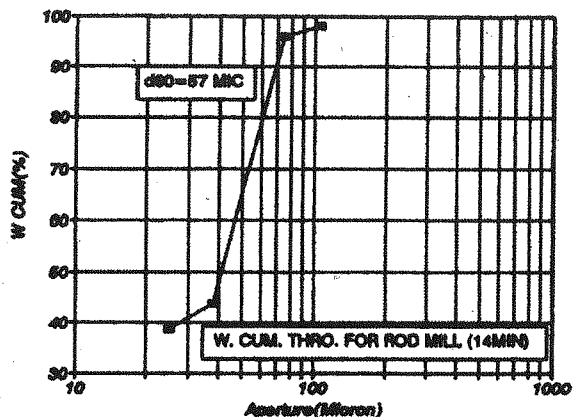
باتوجه به مطالعات انجام شده بر روی سینتیک فلوتاسیون باریت تحلیل های زیر را می توان ارائه نمود:

۱) با استفاده از بازدھی جداش ، $\text{pH} = 9$ به عنوان pH بهینه تعیین گردید. در pH های کمتر و یا بیشتر از ۹ به دلیل تغییر بار سطحی ، بازیابی و در نتیجه بازدھی جداش باریت کاهش می یابد.

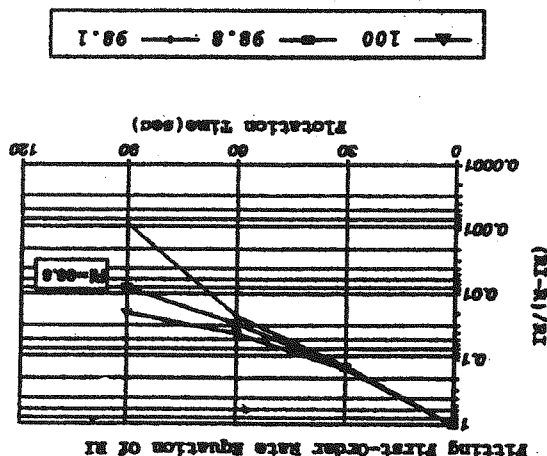
۲) سیلیکات سدیم به میزان ۱۷۵۰ گرم بر تن به عنوان بازداشت کننده مطلوب تعیین گردید. علاوه بر بازداشت سیلیکات ها، باریت را نیز بازداشت می کند.



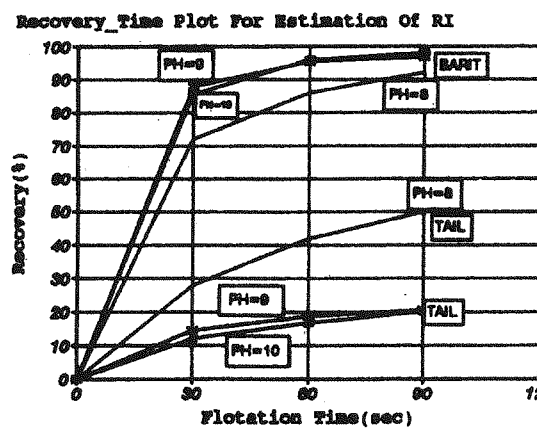
شکل (۳) منحنی محاسبه دقیق RI باطله در $pH = 8$



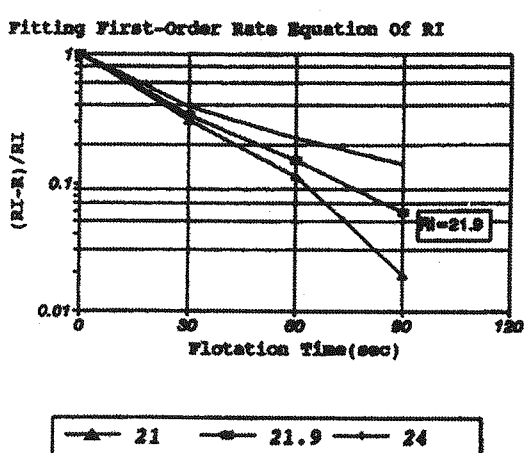
شکل (۱) منحنی های دانه بندی محولات سنگ شکن استوانه ای و آسیا.



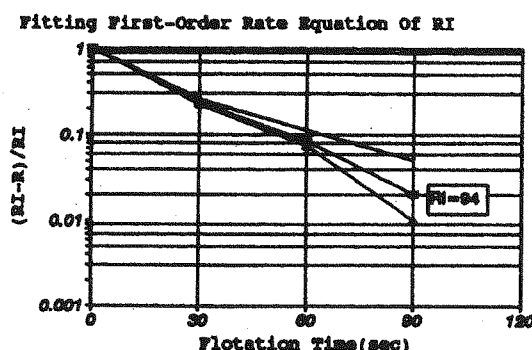
شکل (۵) منحنی محاسبه دقیق RI باریت در $pH = 9$.



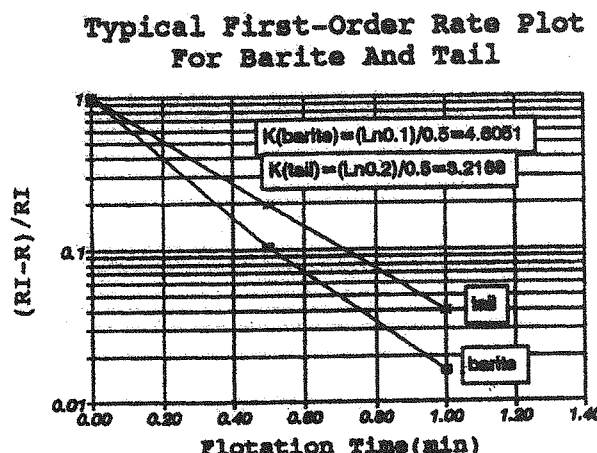
شکل (۲) منحنی بازیابی - زمان برای برآورد اولیه RI در pH های ۹، ۸ و ۷.



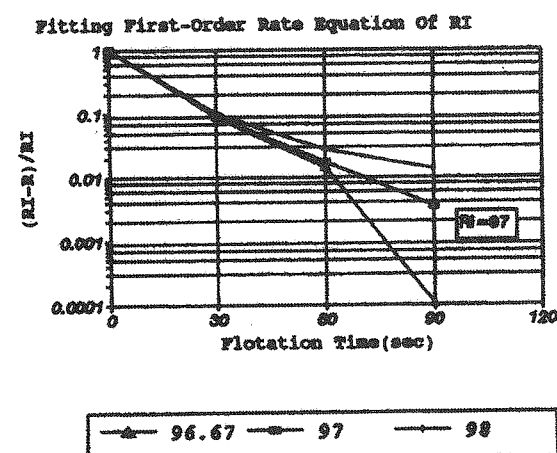
شکل (۶) منحنی محاسبه دقیق RI باطله در $pH = 9$.



شکل (۳) منحنی محاسبه دقیق RI باریت در $pH = 8$.



شکل (۶) محاسبه ثابت سینتیک باریت و باطله.

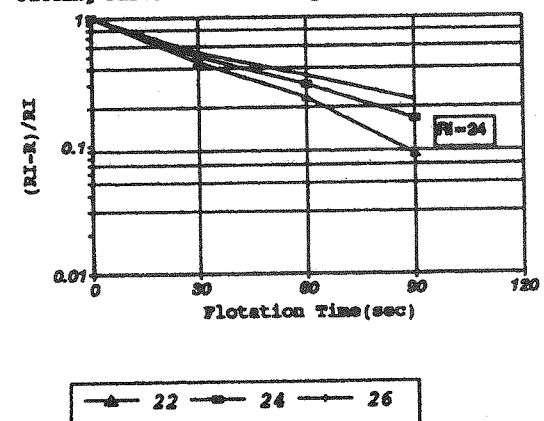


شکل (۷) منحنی محاسبه دقیق RI باریت در $pH = 10$.

زیرنویس ها

- 1- Separation Efficiency
- 2- Gareiazunga
- 3- Arbiter
- 4- Morris
- 5- Hukki
- 6- Imaizum
- 7- Riffle

Fitting First-Order Rate Equation Of RI



شکل (۸) منحنی محاسبه دقیق RI باطله در $pH = 10$.

مراجع

- [5] Hukki, R. T. "Discussion of ref," (1953) ibid. 5, pp: 1122-1124.
- [6] Imaizumi, T. and Inoue, T. "Consideraton's cinctiques sur la Flottation a la mousse", (1963), Proceedings VI th Int. Miner Process Congress (cannes), , pp: 699-715.
- [7] Gordon E. Agar and J. J. Barret " The use of flotation rate data to evaluate reagents", (1993) CLM Bulletin.
- [8] Gordon E. Agar and J.J. Barret. "The use flotation rate data to evaluate reagents", (1983) CIM BULL, 76, pp: 157-162.